

تحلیل پایداری سدهای بتنی وزنی با استفاده از نرم افزار CADAM2000

تورج سبزواری^{۱*}

تاریخ دریافت: تاریخ پذیرش:

چکیده

بررسی پایداری سدهای بتنی وزنی از لحاظ واژگونی، لغزش، تحلیل تنش‌ها و گسترش ترک‌ها در سدهای بتنی وزنی بر اساس بارهای واردۀ بر سد، از جمله فشارهای آب ایستایی^۲ و زلزله حائز اهمیت است. در این تحقیق از برنامه‌ی CADAM2000 جهت تحلیل پایداری سدهای بتنی استفاده شده است. برنامه‌ی مزبور قابلیت تحلیل زلزله را در حالت شبۀ پایا^۳ و شبۀ پویا^۴ داراست همچنین، با در نظر گرفتن شرایط اولیه‌ی ترک‌ها در تمام لایه‌های سد، قابلیت محاسبه‌ی گسترش میزان ترک را در طول هر لایه دارد. میزان ضربیت پایداری در مقابل واژگونی، لغزش، فشار بالا برندۀ و میزان تنش‌های مجاز در کلیه‌ی لایه‌ها قابل محاسبه است. جهت تحلیل زلزله در حالت شبۀ پویایی از نظریه‌های Chopra شده است. جهت بررسی قابلیت‌های این نرم افزار، از اطلاعات سد بتنی وزنی معرف پایین فلت (Pine Flat Dam) مورد استفاده قرار گرفته است.

واژه‌های کلیدی: سدهای بتنی وزنی، زلزله، تحلیل پایداری، ترک

^۱ - عضو هیأت علمی دانشگاه آزاد، واحد استهبان.

^۲ - hydrostatic press ores

^۳ - pseudo-static

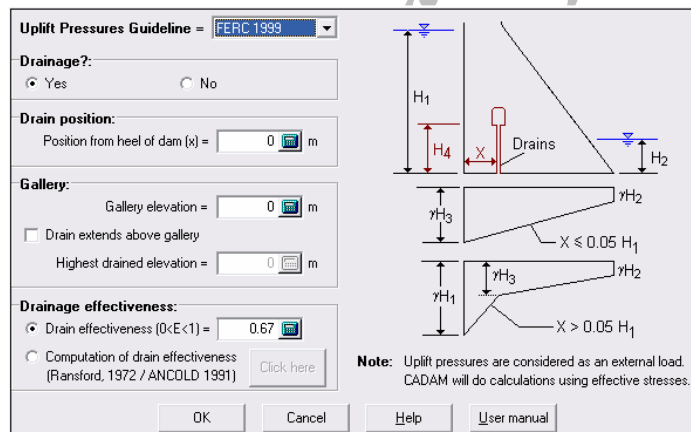
^۴ - pseudo-dynamic

* نویسنده‌ی مسؤول مقاله: [Tooraj419@yahoo.com](mailto>Tooraj419@yahoo.com)

تحلیل زلزله در حالت پایایی و پویایی می‌باشد. رقوم سطح آب در بالادست و پایین دست در دو حالت بهره برداری (عادی) و سیلایی در تحلیل‌ها بکار می‌رود. یکی از مهمترین محسن این برنامه، تعریف دالان زهکش و مشخصات آن در سدهای بتنی وزنی بر اساس معیارهای CDSA1995، USBR 1987 و USACE 1995 و FERC 1999 می‌باشد. ویژگی‌های دالان زهکش از جمله ارتفاع گالری از کف، تعداد زهکش‌ها، فاصله بین زهکش‌ها و فاصله گالری تا پاشنه سد، و ضریب مؤثری زهکش مورد توجه قرار گرفته‌اند. شکل (۱) نحوه‌ی در نظر رفتن دالان‌های زهکش را در برنامه‌ی مذبور با کابرد روش FERC 1999 نشان می‌دهد.

مقدمه

در سرتاسر دنیا خارج از چین، ۴۸۰۰ سد بتنی وزنی وجود دارد. اینمی‌پایایی و لرزه خیزی سدهای بتنی وزنی یک نگرانی دائمی برای جامعه‌ی بین‌المللی ایجاد کرده است و این مهم به علت نحوه‌ی نادرست پیش‌بینی‌های مربوط به بیشترین بار حاصله از سیلاب‌های شدید یا زمین لرزه‌های است، بنابراین، نیاز است که برآورده جدیدی از پایداری سازه‌ای لرزه‌ای و پایایی تحت بارها و فشارهای بیش از حد برای آن دسته از سدهایی که هنوز طراحی و ساخته نشده اند صورت گیرد. CADAM2000 یک نرم افزار جدید با قابلیت‌های بالا با درنظر گرفتن نیروهایی از جمله نیروی آب، ضربه‌ی بیخ، ته نشسته‌های کف رودخانه و پدیده‌ی لبریز شدن آب از روی بدنه‌ی سد، فشارهای آب پویایی و



شکل (۱)- مشخصات دالان زهکش و تأثیر آن بر فشار بالا بر کف (FERC 1999 روش)

مقدار ضریب پایداری در مقابل لغزش در شرایط زلزله از معادله زیر محاسبه می‌گردد:

اگر بعد از ساختن سد بتنی وزنی نیرو یا جرمی به سد اضافه شده باشد، می‌توان جرم و نیروی مذبور را در شبیه سازی جدید در نظر گرفت. ساختن سازه‌ای برروی سد می‌تواند نمونه‌ای از این جرم باشد.

$$\text{SSF} = \frac{(\sum \bar{V} + U + Q_v) \tan \phi + c A_c}{\sum H + \sum H_d + Q_h} \quad (1)$$

که در آن $\sum \bar{V}$ مجموع نیروهای افقی لختی، Q_v نیروهای آب پویایی^۲ افقی، ϕ زاویه اصطکاک داخلی، c میزان

نیروی عمودی لختی^۱، U نیروی فشار بالا برندۀ کف،

² - hydro dynamical

¹ - inertia

ضریب پایداری در مقابل واژگونی از معادله‌ی زیر محاسبه می‌شود:

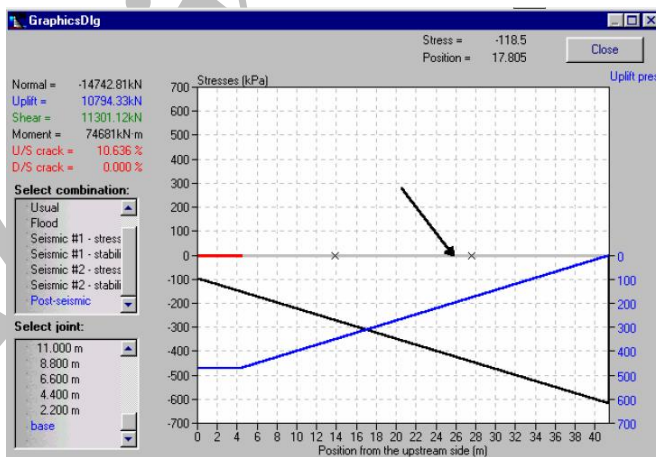
$$OSF = \frac{\sum M_s}{\sum M_o}$$

چسبندگی، A_c سطح تحت فشار و H مجموع نیروهای افقی می‌باشد.

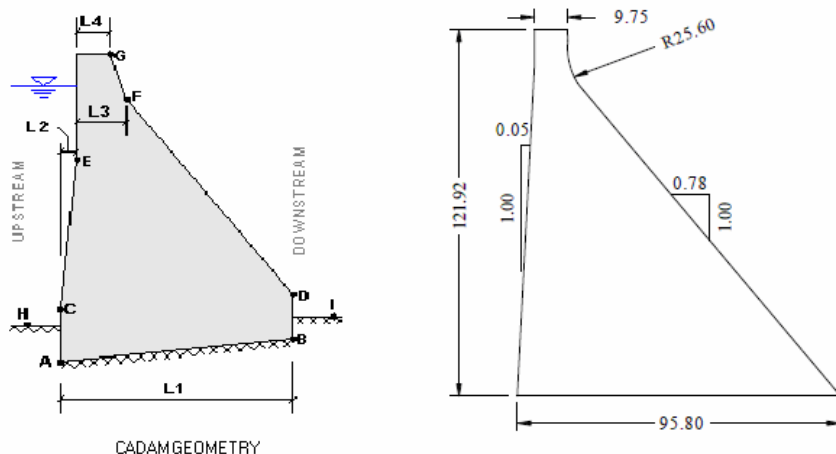
$\sum M_s$ مجموع کشتاورهای واژگون کننده، و $\sum M_o$ مجموع گشتاورهای مقاوم هستند. از مهمترین امکانات برنامه‌ی CADAM2000 تحلیل تنش، گشتاور و درصد طول ترک در هر اتصال (JOINT) مطابق شکل (۲) می‌باشد.

تحلیل پایداری سد بتی وزنی پایین فلت (Pine Flat Dam)

سد پایین فلت (Pine Flat Dam) به ارتفاع ۱۲۱/۹۲ متر، یک سد بتی وزنی معروف، که در بیشتر پژوهش‌های علمی به عنوان طرح مطالعاتی استفاده می‌گردد، نیز در این تحقیق مورد بررسی قرار گرفته است. شکل (۳) هندسه، شکل سد، و نحوه‌ی لایه‌بندی آن را نشان می‌دهد.



شکل (۲)- تعیین مشخصات تنش، گشتاور، محل نیروی برآیندو درصد طول ترک در اتصالات.



شکل (۳)- هندسه‌ی سد بتنی وزنی پایین فلت

مختصات و مشخصات لایه‌های تشکیل دهنده‌ی سد مطابق شکل (۳) به صورت زیر می‌باشند:

جدول(۱)- مشخصات لایه‌بندی سد بتنی وزنی پایین فلت

شماره لایه	نام لایه	بالا دست		پایین دست		طول (m)
		ارتفاع (m)	موقعیت x (m)	ارتفاع (m)	موقعیت x (m)	
1	joints	283.464	5.105	283.464	15.014	9.909
2	joints	271.272	4.538	271.272	19.840	15.302
3	joints	259.080	3.971	259.080	29.337	25.366
4	joints	246.888	3.404	246.888	38.833	35.429
5	joints	234.696	2.836	234.696	48.329	45.493
6	joints	222.504	2.269	222.504	57.826	55.557
7	joints	210.312	1.702	210.312	67.322	65.620
8	joints	198.120	1.135	198.120	76.818	75.684
9	joints	185.928	0.567	185.928	86.315	85.747
Base	Base joint	173.736	0.000	173.736	95.811	95.811

L1=	95.811	m	Elev. D=	173.736	m
L2=	5.105	m	Elev. E=	283.464	m
L3=	9.987	m	Elev. F=	277.368	m
L4=	9.754	m	Elev. G=	295.656	m
Elev. A=	173.736	m	Elev. H=	173.736	m
Elev. B=	173.736	m	Elev. I=	173.736	m
Elev. C=	173.736	m	Elev. D=	198.526	m

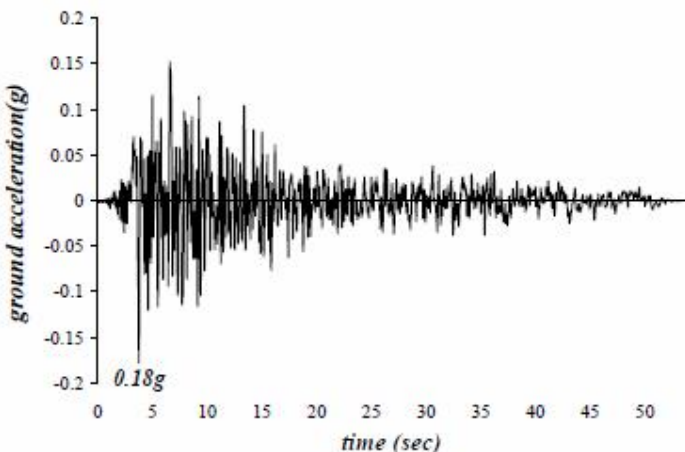
سنجه‌ی کشسانی^۱ بتن بدنه سد برابر با $Es = 22,407$ Mpa، مقاومت 28 روزه‌ی نمونه‌ی استوانه‌ای 30000 کیلو پاسکال، میرایی سازه سد (γ_1) برابر با

سنجه‌ی کشسانی^۱ بتن بدنه سد برابر با $Es = 22,407$

¹ - elasticity

مورد استفاده در تحلیل‌ها، مؤلفه‌ی S69E زلزله کرن کانتی (Kern County) کالیفرنیا می‌باشد که در تاریخ 21 جولای ۱۹۵۲ در ایستگاه تونل مدرسه یتفت لینکلن (Taft Lincoln School) ثبت شده است. آمار زلزله‌ی موردنظر در شکل (۴) نشان داده شده است. شتاب افقی زلزله ۰.۱۸g در نظر گرفته شده است.

$E_f = 22,407$ ۵٪ سنجه‌ی کشسانی سنگ بستر
 $E_f = 125,829$ Mpa در حالت انعطاف پذیر،
در حالت صلب، و ضریب ثابت میرایی چرخ‌های آن (η_f) ۱، درنظر گرفته شده است. ارتفاع آب دریاچه پشت سد ۱۱۶.۱۳ متر، و ضریب بازتاب امواج در ته نشسته‌ای کف دریاچه ۰.۵ می‌باشد. بزرگترین شدت زلزله‌ی



شکل(۴): ثبت مؤلفه‌ی S69E زلزله‌ی کرن کانتی در ایستگاه تونل مدرسه‌ی یتفت لینکلن اسکول

- (۳) تأثیر خاصیت تراکم پذیری آب مخزن براساس معادلات وسترگاد بر نیروهای زلزله
- (۴) تاثیر میزان انحنای وجه بالادست در محاسبات مربوط به زلزله
- (۵) تاثیر شتابهای عمودی زلزله بر روی فشارهای آب ایستابی
- شتاب افقی زلزله ۰.۱۸g و شتاب طیفی^۱ افقی ۰.۳۲۷g در شرایط حداکثر (peak) و شالوده در شرایط انعطاف پذیر $E_f = 22,407$ Mpa، $R_r = 1.23$ ، $T_1 = 0.31\text{ sec}$ معادلات ارائه شده در مرجع (۱)، مقدار $R_f = 1.187$ و مقدار دوره‌ی $\tilde{T}_1 = R_r R_f T_1 = 0.452$ و مقدار میرایی لزجی (dam) (viscous damping ratios) دریاچه (foundation) و شالوده (reservoir) مطابق (foundation) (reservoir) چوپرا

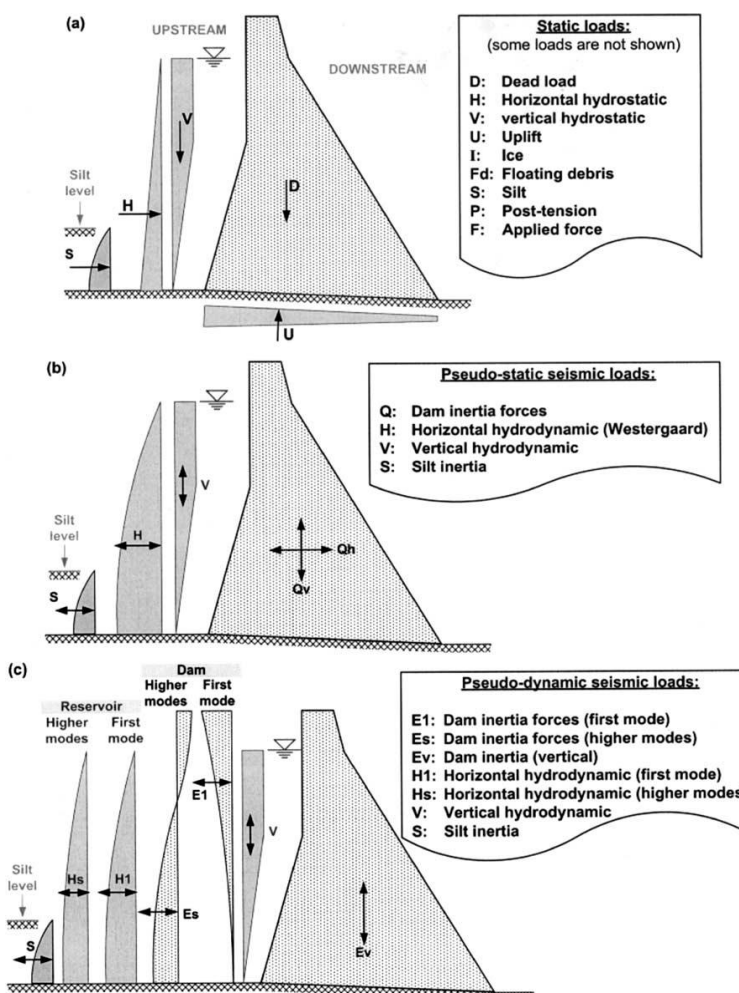
سد مذبور از ۱۰ لایه بتی (Joint) تشکیل شده است و بدین ترتیب، مشخصات لایه‌ها تحت بارگذاری‌های مختلف مورد بررسی قرار می‌دهیم. بررسی مقادیر تنش‌های عادی وبرشی در وجه بالا دست و پایین دست سد در چهار حالت مخزن پر و خالی در شرایط شالوده‌ی صلب و قابل انعطاف با استفاده از شبیه CADAM2000 مورد بررسی قرار گرفت. یکی از امکانات برنامه مذبور این است که زلزله را در حالت پایایی، شبیه پایایی و شبیه پویایی مطابق شکل (۵) شبیه سازی می‌کند.

- ## ۲-۱- تحلیل سد در شرایط مخزن پر با شالوده‌ی انعطاف پذیر
- از قابلیت‌های برنامه‌ی CADAM2000 در شبیه سازی زلزله در نظر گرفتن موارد زیر می‌باشد:
- (۱) شتاب افقی و قائم زلزله
 - (۲) مشخصات پویایی زلزله بر اساس نظریه‌های چوپرا

^۱ - sprctral

را در حالت شبه پویایی نشان می‌دهد.

محاسبه شده است. جدول (۲) نتایج و مشخصات زلزله



شکل (۶) شرایط بارگذاری CADAM برای تجزیه و تحلیل های پایایی و لرزه ای: (a) شرایط تجزیه و تحلیل پایایی پایه ای؛ (b) تجزیه و تحلیل شبه پایایی زلزله؛ (c) تجزیه و تحلیل شبه پویایی زلزله

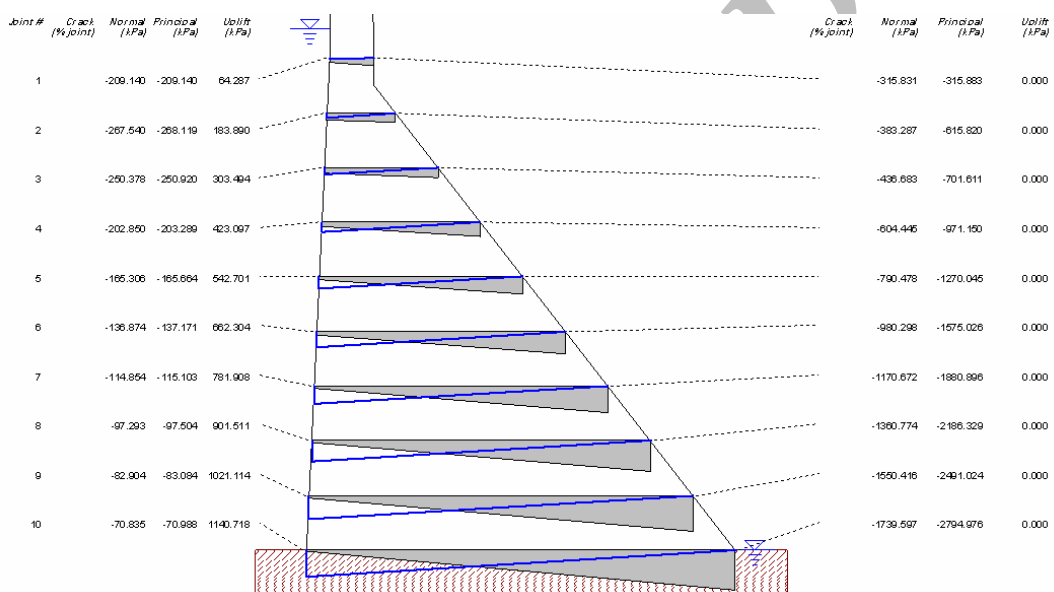
جدول (۲)- مشخصات شبه پویایی زلزله (مخزن پر با شالوده ای انعطاف پذیر)

Pseudo-dynamic - constants results:					
Fundamental periods					
Dam		Reservoir		Dam / reservoir	
$T_1 = 0.3095$	sec	$T_1^r = 0.3233$	sec	$\tilde{T}_r = 0.3811$	sec
Period Lengthening ratios					
Reservoir		Foundation		Reservoir related data	
$R_r = 1.2312$		$R_f = 1.1871$		$R_w = 0.8484$	$A_p = 0.2710$
				$F_{st} = 66322.02$ kN	$B_1 = 1229.95$ ton
Viscous damping ratios					
Dam		Reservoir		Foundation	
$\xi_1 = 0.0500$		$\xi_r = 0.0336$		$\xi_f = 0.0677$	$\tilde{\xi}_1 = 0.1256$
Generalized masses					
$M_1 = 744.993$	ton	$\tilde{M}_1 = 1129.371$	ton	$L_1 = 2052.533$	ton
Earthquake force coefficients					
$\tilde{L}_1 = 3718.880$	ton				

فشار بالا برند و در حالت زلزله (seismic#1) با در نظر گرفتن شتاب زلزله به سمت پایین دست، و کلیه‌ی نیروهای قبلی اجرا شده است. نتایج بارگذاری در دو حالت بالا به شرح زیر است.

۲-۱-۱- تحلیل پایداری در شرایط معمولی
شکل (۷) نتایج مربوط به تجزیه و تحلیل تنش را در شرایط بارگذاری معمولی و تنش‌های اصلی و عادی روی وجهه بالادست و پایین دست سد، و همچنین فشارهای بالا برند را نشان می‌دهد.

جهت تعیین میزان گسترش ترکها در کلیه‌ی اتصالات فرض برآن شد که میزان مقاومت کششی برای شرایط اولیه‌ی ترک، و در حالت گسترش آن صفر در نظر گرفته شده است. فشار بالا برند (uplift) در طول زلزله تغییر نکرده، و فشار بالا برند در مقطع‌های ترک خورده در صورت وجود قابلیت اصلاح را دارند. در شبیه مزبور ترک‌های اولیه در منظور نگردیده، ولی میزان گسترش آنها محاسبه شده است. شتاب زلزله به سمت پایین دست در نظر گفته شده و شبیه در دو حالت عادی (usual) با درنظر گرفتن نیروهای آب ایستایی بالادست، وزن سد و



شکل (۷)- تجزیه و تحلیل تنش موثر در شرایط بارگذاری معمولی

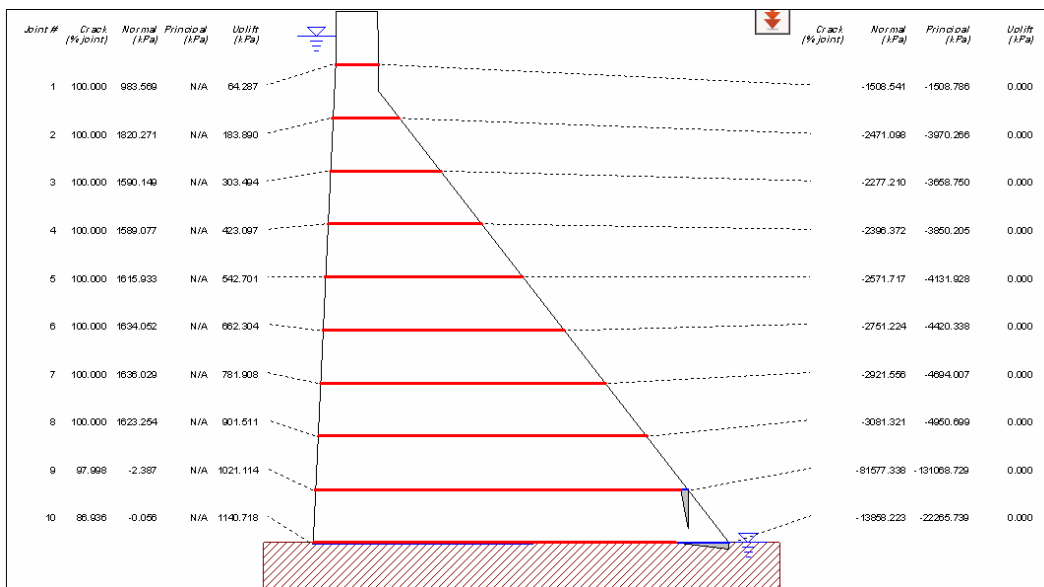
جدول (۳) نتایج مربوط به ضرایب پایداری را در مقابل لغزش و واژگونی و محل نیروهای برآیند را نشان می‌دهد.

جدول (۳)- ضرایب پایداری در مقابل لغزش و واژگونی و فشار بالا برند در هر لایه

ID	U/S elevation (m)	Safety factors				
		Sliding		Overturning		Uplifting
		Peak	Residual	toward U/S	toward D/S	
1	283.464	17.63460	12.34788	14.07893	5.68511	9.16609
2	271.272	4.12614	2.88915	6.62354	2.42663	4.53921
3	259.080	2.65086	1.85615	4.70269	1.88568	3.26384
4	246.888	2.23850	1.56741	4.33668	1.68569	2.90806
5	234.696	2.06835	1.44828	4.21772	1.59382	2.76116
6	222.504	1.98236	1.38806	4.16693	1.54461	2.68680
7	210.312	1.93308	1.35355	4.14129	1.51534	2.64409
8	198.120	1.90230	1.33201	4.12680	1.49658	2.61736
9	185.928	1.88185	1.31768	4.11790	1.48386	2.59955
10	Base joint	1.86759	1.30770	4.11210	1.47487	2.58710
Required:		3.000	1.500	1.200	1.200	1.200

شالوده‌ی انعطاف پذیر را نشان میدهد. درصد طول ترکها در قسمت شکاف (crack) محاسبه شده است.

شکل (۸) نتایج مربوط به مقادیر تنش‌های عادی و طول ترکها را در حالت زلزله کامل برای مخزن پر با



شکل (۸) مقادیر تنش را در حالت زلزله با در نظر گرفتن مقدار بیشترین شتاب زلزله و میزان طول ترک

جدول (۴) نتایج مربوط به ضرایب پایداری را در مقابل لغزش و واژگونی در شرایط زلزله‌ی کامل نشان می‌دهد.

جدول (۴)- ضرایب پایداری در مقابل لغزش و واژگونی در شرایط زلزله‌ی کامل

Joint		Safety factors				
ID	U/S elevation (m)	Sliding		Overturning		Uplifting
		Peak	Residual	tow ard U/S	tow ard D/S	
1	283.464	1.07342	0.75162	32.63187	0.66015	9.16609
2	271.272	0.80035	0.56041	17.97711	0.57187	4.53921
3	259.080	0.74130	0.51906	10.76716	0.68848	3.26384
4	246.888	0.77140	0.54014	8.57194	0.76056	2.90806
5	234.696	0.82701	0.57908	7.49990	0.82008	2.76116
6	222.504	0.89123	0.62405	6.84082	0.87311	2.68680
7	210.312	0.95611	0.66948	6.38054	0.92156	2.64409
8	198.120	1.01644	0.71172	6.03531	0.96596	2.61736
9	185.928	1.06900	0.74852	5.76661	1.00625	2.59955
10	Base joint	1.11287	0.77924	5.55396	1.04219	2.58710
Required:		1.300	1.000	1.100	1.100	1.100

۲-۱-۲- تحلیل سد در شرایط مخزن خالی با

شالوده‌ی انعطاف پذیر

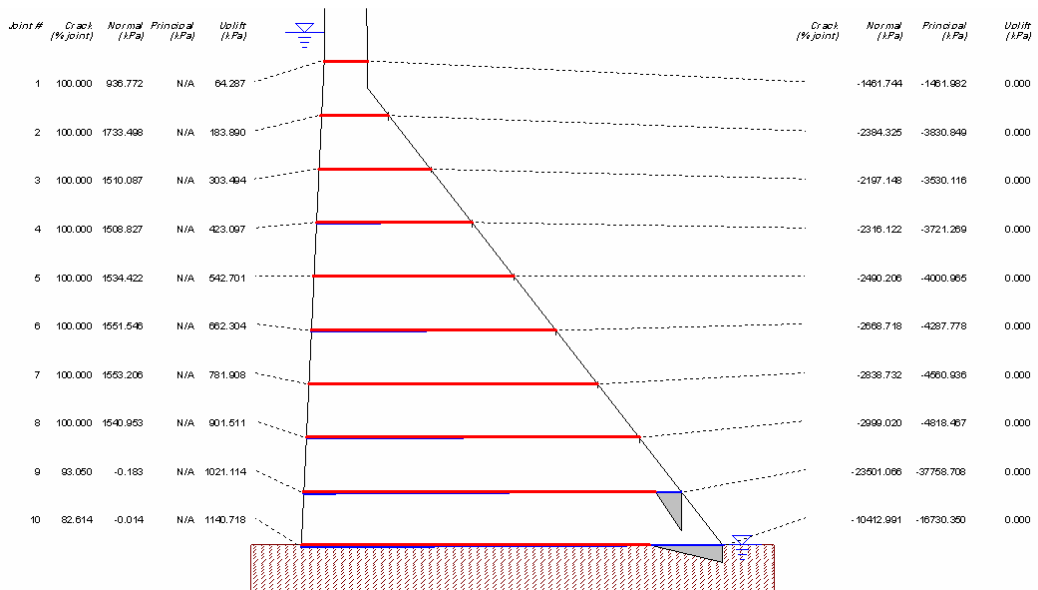
در یک تحلیل دیگر مخزن را در شرایط خالی با شالوده‌ی انعطاف پذیر مورد بررسی قراردادیم. مقدار شتاب طیف ۰.۲۸۱g می‌باشد. در شرایط مزبور میزان

بر اساس نتایج بالا، تمام لایه‌ها در مقابل لغزش ناپایدارند، زیرا ضریب لغزش تمام لایه‌ها از ۳/۱ کمتر است. بر اساس شکل (۸) می‌توان گفت که در شرایط مزبور بیشتر اتصالات دچار ترک‌های طولی کاملی قرار گرفته‌اند.

۳-۱-۲- تحلیل سد در شرایط مخزن پر با شالوده‌ی صلب

در شرایط مخزن پر با شالوده‌ی صلب با ستاپ طیف 0.312 g مقادیر تنش‌ها نسبت به حالت قبل افزایش یافته و طول ترک در کل سد مطابق شکل زیر است.

تنش‌های عادی کاهش یافته، و میزان ترک در دو لایهٔ بالای سد 88% و 67% مشاهده گردید.

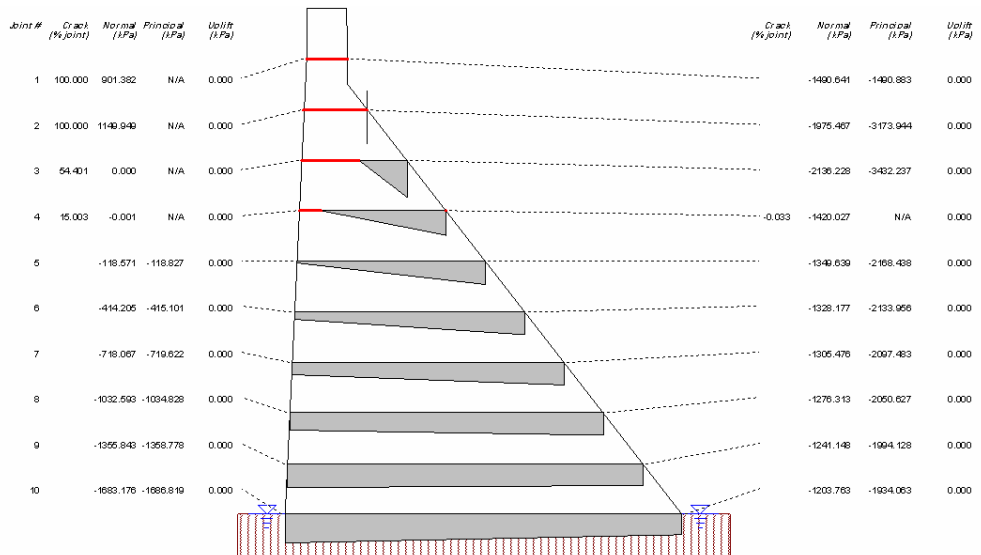


شکل (۹) نتایج مربوط به تنش‌های عادی و طول ترک‌ها در شرایط مخزن پر با شالوده‌ی صلب

۴-۱-۲- تحلیل سد در شرایط مخزن خالی با شالوده‌ی صلب

اگر شرایط مخزن را به صورت خالی با شالوده‌ی صلب در نظر بگیریم، در لایه‌های بالایی 100% ، 100% ، 100% و 54% مشاهده شده است. شکل (۱۰) مشخصات تنش‌ها و طول ترک‌ها را نشان می‌دهد.

همانطور که مشاهد می‌شود، تقریباً تمام لایه‌ها دچار ترک‌های طولی شده‌اند.



شکل (۱۰)- نتایج مربوط به تقسیم‌های عادی و طول ترک‌ها در شرایط شرایط مخزن را به صورت خالی با شالوده‌ی صلب

نتایج

در نظر گرفتن اندرکنش سازه سد با دریاچه و بستر سنگی زیر آن باعث افزایش پاسخ سازه در زلزله می‌شود.
ب) برنامه‌ی CADAM2000 در شبیه‌سازی طول ترک در شرایط زلزله کامل، جوابهای مناسبی دارد.

الف) با بررسی‌های صورت گرفته، پاسخ سازه سد با مخزن پر و شالوده‌ی انعطاف پذیر بیشتر از پاسخ سد با مخزن خالی و شالوده‌ی صلب می‌باشد. به عبارت دیگر،

منابع

- 1- Fenves, G., Chopra, A.K. 1986. Simplified analysis for earthquake resistant design of concrete gravity dams, Rep. No. UCB/EERC-85/10, Earthquake Engrg. Res. Ctr. , Univ. of California , Berkeley, Calif.
- 2- Fenves, G., Chopra, A.K. 1987. Simplified earthquake analysis of concrete gravity dams, Journal of Struct. Engrg. ASCE, 2001.113: 1688 –1708.
- 3- Leclerc, M. Le'ger P. Tinawi, R. CADAM User's Manual. Version 1.4.3 <http://www.struc.polymtl.ca/cadam/> Department of Civil Engineering, E 'cole Polytechnique de Montréal, Québec, Canada.
- 4- Chopra, A.K. 1998 Earthquake response analysis of concrete dams. . p. 416–65. In: Jansen, R.B., editor, Advanced dam engineering for design, construction and rehabilitation. New York: Van Nostrand Reinhold.
- 5-CADAM user manual, <http://www.struc.polymtl.ca/cadam/>